

تأثیر مسیر ابزار در فرآیند شکل دهنده افزایشی ورقهای دولایه

Archive of SID

علی ابراهیم^۲

دانشکده مهندسی مکانیک

دانشگاه آزاد اسلامی، واحد علوم و تحقیقات

(تاریخ دریافت: ۱۳۹۱/۹/۷؛ تاریخ پذیرش: ۱۳۹۲/۸/۱۹)

عباس وفایی صفت^۱

دانشگاه جامع امام حسین(ع)

چکیده

شكل دهنده افزایشی ورق به علت انعطاف پذیری بالا روشی برای نمونه سازی سریع معرفی شده است. رفتار شکل پذیری ورق را می‌توان در ۴ پارامتر اصلی ضخامت ورق، مسیر ابزار، سرعت (سرعت چرخشی و پیش روی ابزار) و شعاع ابزار بیان کرد. در این مقاله برخلاف تحقیقات گذشته به بررسی رفتار ورقهای پوشش دار یا دولایه که توسط نورد به هم چسبیده اند پرداخته می‌شود. ورقهای دولایه با عنایت به کارایی و خواص ترکیبی در صنایع مختلف همچون هواپما، الکترونیکی، شیمیایی، خودرو سازی و غذایی کاربردهای مختلف دارند. تأثیر پارامترهای مهم بر رفتار شکل دهنده در حین فرایند مانند استحکام، نیروی شکل دهنده، قابلیت کشش و میزان کاهش ضخامت ورق بررسی می‌گردد. به منظور مطالعه فرایند از مدل اجزای محدود جهت شبیه سازی کمک گرفته می‌شود. مقایسه نتایج عددی و آزمایشگاهی موجب ارزیابی شایستگی مدل می‌شود. نتایج حاکی از انتخاب صحیح معیارهای به کار گرفته شده می‌باشد که می‌تواند روش شبیه سازی در جهت پیش‌بینی پارامترهای مختلف فراهم آورد.

واژه های کلیدی: مدل اجزای محدود، نمونه سازی سریع، نازک شدنگی ضخامت

The Influence of Tool Path in Incremental Forming of Double-Layers Sheet

A. Vafaeesefat

Imam Hossein University

A. Ebrahim

Mechanical Engineering Department.

Islamic Azad University, Science and Research Branch

(Received: 27/November/2012; Accepted: 10/November/2014)

ABSTRACT

Because of high flexibility of the incremental sheet metal forming, it is used as a Rapid prototyping tool. The formability of the sheet can be defined in terms of four major parameters: sheet thickness, tool path, speed (both rotational and feed rate) and radius of the forming tool. In this paper unlike previous studies, the forming behavior of clad sheet or double-layers is studied in which the two layers are produced by roll bonding. The double-layers sheet have different industrial applications in various industries according to their combined properties such as aerospace, electrical, chemical, automotive and food. The influences of major parameters on the formability during the process are studied such as strength, forming force, tensility and thinning of thickness. In order to study the process parameters, the use FE simulation of the process is used. A comparison between numerical and experimental results is made to assess the suitability of model. The results for both the methods are in good agreement, which indicate that the criteria chosen for determination of the mechanical behavior of the formed sheets has been adequate. The results also show strong potentials of the finite element method for simulation of the incremental sheet forming process, with the aim of estimating the critical parameters in this process.

Keywords: Finite Element Model, Rapid Prototyping, Thickness Thinning

۱- مقدمه

هیدروفرمینگ ورق‌های چندلایه مطالعه نمودند. اسلام^۲ و همکارانش^[۳] در مورد امکان سنجی شکل‌دهی اجزاء لوله‌های چند لایه توسط فرایند هیدروفرمینگ و شبیه‌سازی المان محدود تحقیق کرده‌اند. باقرزاده و ملایی داریانی^[۴] در مورد تعیین فشار بحرانی کشش عمیق هیدرو مکانیکی ورق‌های دولایه فلزی تحقیق کردند. هانگ هسیو^۵ و همکارانش^[۵] دو مدل تحلیلی برای شکل‌دهی فشاری ورق‌های دولایه ارائه دادند. جیو-یی^۶ و همکارانش^[۶] مدل تحلیلی اصلاح شده نورد نورد سرد ورق‌های دولایه با لحاظ اصطکاک را ارائه نمودند. شاکری و همکارانش^[۷] کریمی و نارویی^[۸] در مورد شکل‌پذیری ورق دولایه فلزی تحقیق نمودند. رجبی و کخدایان^[۹] و ملایی داریانی و همکارانش^[۱۰] به شبیه‌سازی و مطالعه چروکیدگی ورق‌های دولایه در فرایند کشش عمیق پرداختند. مسلمی نائینی و همکارانش^[۱۱] به بررسی اثر ضخامت لایه‌ها بر برگشت فنری ورق فلزی دولایه در فرایند شکل‌دهی غلتکی سرد پرداختند.

روش شکل‌دهی افزایشی قادر است اشکال پیچیده که دارای برجستگی‌ها و فرورفتگی‌های بسیار متنوع هستند را بر روی ورق‌های مدنظر به وجود آورد. از محدودیت‌های این روش می‌توان به طولانی بودن زمان فرایند و محدودیت‌های هندسی اشکال تولیدی اشاره نمود که البته مزیت عدم نیاز به قالب‌های ویژه این روش را در قبال فرایند کلاسیک کشش عمیق در قطعات نمونه و تعداد کم برتری داده است.

آتانسیو^۷ و همکارانش^[۱۲] به بهینه‌سازی مسیر ابزار در شکل‌دهی افزایشی ورق تک لایه از جنس فولاد پرداختند. آنها با انتخاب دو نوع مسیر ابزار عمق فرم دهی را در هر مرحله ابتدا ثابت و سپس افزایشی در نظر گرفتند و به بررسی تأثیر آن در کیفیت سطح و دقت ابعادی و همچنین نازک شدگی ضخامت ورق پرداختند. رودریگز^۸ و همکارانش^[۱۳] تحت عنوان انتخاب بهینه استراتژی شکل‌دهی افزایشی ورق به بررسی تأثیر تعداد مراحل عمق دهی و مسیر ابزار در صافی سطح و پارگی ورق‌های تک لایه پرداخته‌اند. در آزمایشی دیگر یاماشیتا^۹ و همکارانش^[۱۴] با به کارگیری کد المان محدود دینامیک تأثیرات مسیر ابزار بر روی رفتار شکل‌پذیری ورق در فرایند شکل‌دهی افزایشی را مورد مطالعه قرار دادند. و در این میان به بررسی پارامترهای خروجی پروفایل محصول شکل یافته، توزيع

امروزه استفاده از ورق‌های چند لایه به خصوص ورق‌های دولایه با توجه به خواص ترکیبی که دارند در محصولات مختلف، قطعات صنعتی و خانگی گسترش یافته است. از جمله این خواص می‌توان به دستیابی استحکام بالا همراه با وزن کمتر، افزایش مقاومت در برابر خوردگی و اکسید شدگی، افزایش میرایی صوت و ارتعاش، توزیع یکنواخت حرارت به سبب ضربه انبساط حرارتی متفاوت لایه‌ها در محصولاتی که نیاز به گرم کردن و گرم نگهداشتن مواد دارند، اشاره نمود. همچنین ورق‌های دولایه در بهبود فرایندهای شکل‌دهی به‌طور خاص در بهبود شکل‌پذیری ورق‌ها با شکل‌پذیری کم، یا در محصولات دقیق به جهت کاهش برگشت فنری و چین خوردگی نسبت به ورق فلزی هم ضخامت و در نهایت کاهش هزینه‌ها کاربرد زیادی پیدا کرده‌اند.

کاربرد این ورق‌ها در صنایع مختلفی همچون هواپیما، الکتریکی، شیمیابی، خودروسازی، غذایی و حتی بسته‌بندی گسترش یافته است. در این میان ترکیب فلزات مختلف با یکدیگر مورد توجه می‌باشد. خواص این نوع ورق‌های چند لایه بستگی به نسبت حجمی لایه‌های تشکیل دهنده دارد. به عنوان مثال ورق‌های پوشش دار فولاد زنگ نزن با پوشش مس دارای استحکام فولاد همراه با خواص رسانایی گرمایی مس می‌باشد. در صنعت خودروسازی به‌دلیل خواص خوب مکانیکی، ضربه انتقال حرارت بالا و مقاومت در برابر خوردگی، آلیاژهای آلومینیوم به‌صورت ترکیبی به‌صورت ورق‌های چند لایه در رادیاتورها و کندانسورهای خودرو استفاده می‌شوند. از دیگر موارد کاربردی این ورق‌ها می‌توان به قوطی‌های کنسرو پوشش دار در صنایع غذایی و حتی ورق‌های دولایه با پوشش ضد سایش در صنایع معدنی و ابزار آلات مربوطه اشاره نمود.

روش‌های مختلفی به‌منظور تولید این نوع ورق‌ها در صنعت وجود دارد. یکی از این روش‌ها فرایند نورد است که می‌تواند به‌طور داغ یا سرد صورت گیرد و نسبت به روش‌های دیگر مانند اتصال انفجاری یا اتصال به‌کمک چسب‌های مخصوص، اقتصادی‌تر و مؤثرتر است. استحکام ورق دولایه به عوامل مختلفی مانند فشار نورد، نسبت‌های ضخامت دولایه‌ای که به هم پیوند می‌خورند، زیری و تمیزی دو سطح پیوند وابسته است^[۱].

روش‌های متنوعی جهت تهیه و شکل‌دهی ورق‌های چند لایه تاکنون استفاده شده است. لانگ^{۱۰} و همکارانش^[۲] در زمینه www.SID.ir

2- Islam

3- Hung-Hsiou

4- Gow-Yi

5- Attanasio

6- Rodriguez

7- Yamashita

1- Long

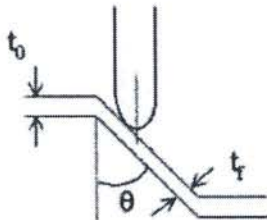
ورق ها بوجود می آید و البته با انتخاب مسیر ابزار بهینه می توان از مقدار این کاهش به طور چشمگیری کاست.

۲- رابطه بین خم شدن و کاهش ضخامت آن
در فرآیند شکل دهی تدریجی نیز مانند فرایند کشش عمیق با نازک شدن دیواره ها مواجه هستیم اما با این تفاوت که در این روش میزان نازک شدن بسیار زیاد می باشد. به این منظور باید به طور دقیق میزان نازک شدن تعیین شده و در شکل نهایی قطعه در نظر گرفته شود. از آنجا که قطر ابزار به ضخامت ورق بستگی دارد، ابزار با قطر کوچک قادر به تحمل نیروهایی که در فرایند شکل دهی ورق های ضخیم عمل می کنند نخواهد بود.

در شکل ۱ رابطه بین کاهش ضخامت ورق و خم شدن براساس ضخامت نهایی (t_f) به ضخامت اولیه (t_0) و زاویه خمش θ نشان داده شده است. این رابطه تقریبی کاهش ضخامت ورق در رابطه (۱) نشان داده شده است.

$$(1) \quad t_f = t_0 \sin \theta.$$

باید به این نکته دقت کرد که این رابطه برای شرایطی که تغییر ضخامت ثابت می باشد اعتبار دارد. در شکل دهی تدریجی میزان نازک شدن دیواره قطعه کار در قسمت های مختلف متفاوت است [۲۰].



شکل (۱): رابطه بین کاهش ضخامت ورق و خم شدن [۲۰].

۳- مسیرهای ابزار

گزینه های متعددی در شکل دهی افزایشی برای انتخاب مسیر ابزار موجود می باشد. یک روش معمول تشکیل کانتورها با اندازه گام مساوی می باشد. در این شیوه ابتدا یک سطح صاف ورق به عنوان صفحه Y-X قبل از شکل دهی تعریف می شود که محور Z در این سطح مساوی با صفر است. ابزار با حرکت دورانی از قسمت خارج صفحه به مرکز آن یا بالعکس وارد عمق دهی می شود. این حلقه ها تکرار می شوند و با نفوذ ابزار به داخل قطعه، شکل نهایی ایجاد می گردد. روش دیگر مسیر ابزار مارپیچی می باشد. از پارامترهای مهم مسیر ابزار می توان به طول مسیر، اندازه گام عمودی (میزان باردهی) و افقی، تعداد حلقه اشاره نمود [۲۱]. در حل این مدل مسیرهای از پیش تعیین شده ای متناسب با شکل نهایی قطعه در نظر گرفته

کرنش و مقدار نیروی مصرفی پرداختند. راج^۱ و همکارانش [۱۵] به بهینه سازی برنامه مسیر ابزار درجهت کاهش نیروی مصرفی به صورت تجربی پرداخته اند. کیم^۲ و همکارانش [۱۶] نشان دادند که قابلیت شکل پذیری در فرایند با سرعت های پیش روی افزایش می یابد. کیو^۳ و جائو^۴ [۱۷] بر روی فرایند فلتچ کاری با استفاده از شکل دهی افزایشی چند مرحله مطالعه نمودند و نشان دادند که نتایج قابل قبولی با استفاده از مسیر ابزار چند مرحله ای می توان حاصل نمود.

بامبج^۵ [۱۸] جهت بهبود مسیر ابزار به صورت تکرار شونده استراتژی توصیف نمود که اصلاح مسیر به جهت افزایش دقت محصول انجام می پذیرفت این تکرار اصلاح مسیر ابزار یک مزیت منحصر به فردی است اما به سبب فعل و انفعالات پیچیده و مرکب انتخاب های اولیه و نهایی مسیر ابزار همگرایی به شکل نهایی محصول بسیار سخت و پیچیده گردید. آلود^۶ و همکارانش [۱۹] با به کار گیری دوربینی در زیر قطعه کار به جهت به دست آوردن باز خور هندسه محصول در حین فرایند اقدام به تنظیم مسیر ابزار نمودند. تنظیم نمودن مسیر ابزار توسط الگوریتم بهینه سازی انجام می پذیرفت که با به کار گیری مدل خطی فرم قطعه در حین فرایند و میزان انحراف آن تا قطعه مدنظر و مسیر ابزار طراحی شده را مقایسه و اقدام به اصلاح مسیر ابزار می نمود. این روش به نظر بسیار امیدبخش بوده اما در هندسه های ساده، کارایی مناسب را دارد.

تاکنون تمامی مطالعات در زمینه شکل دهی افزایشی بر روی ورق های تک لایه از موادی از قبیل ورق های فولادی، آلومینیوم، منیزیم، مس وآلیاژ های آنها، حتی در مواد لاستیکی و پلاستیکی انجام پذیرفته شده است. در مقاله پیش رو با استفاده از روش اجزای محدود اقدام به شبیه سازی فرایند شکل دهی افزایشی ورق دولایه آلومینیوم- مس پرداخته که جنس دوگانه ماده رفتار جدیدی از شکل پذیری را در بر خواهد داشت. مسلماً بررسی پارامترهای مختلف کمک به شناخت رفتار شکل پذیری این نوع ورق ها می کند. در این مطالعه پارامترهای مسیر ابزار و عمق محصول مورد بررسی قرار می گیرد سپس با انجام آزمایشات تجربی در این زمینه اقدام به اعتبار سنجی نتایج می گردد. مشخص گردید با افزایش عمق محصول مقادیر تنفس ها افزایش یافته و کاهش در شکل پذیری

1- Rauch

2- Kim

3- Cui

4- Bambach

5- Allwood

آن انجام پذیرد. با حرکت دورانی ابزار سرگروی به قطر ۱۰

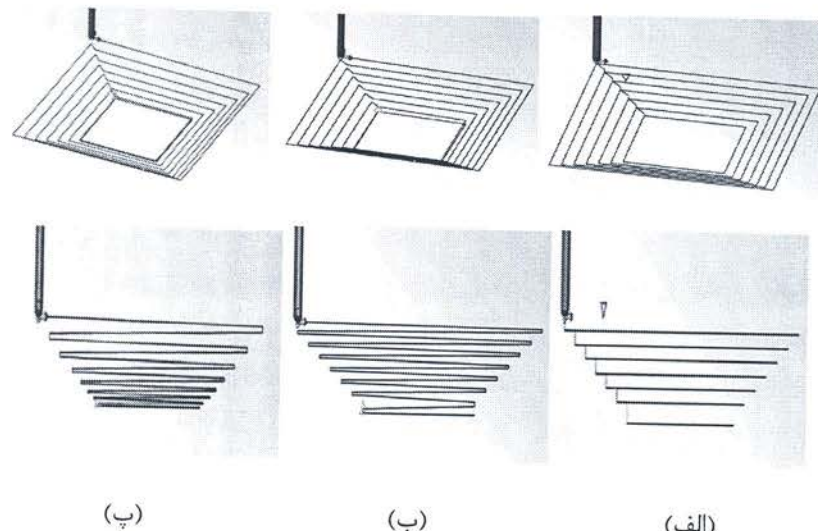
میلی‌متر اقدام به ساخت محصولات (Bild ۲-۱) کرد.

- ۱- محصول با عمق ۱۰ میلی‌متر با مسیر ابزار مطابق شکل ۲-(الف) (عمق‌دهی پله‌ای)

- ۲- محصول با عمق ۱۵ میلی‌متر با مسیر ابزار مطابق شکل ۲-(الف) (عمق‌دهی پله‌ای) و

- ۳- محصول با عمق ۱۵ میلی‌متر و مسیر ابزار مطابق شکل ۲-(ب) (عمق‌دهی حلقوی).

جهت کنترل حرکت ابزار، برنامه کنترل عددی مطابق مسیر ابزارهای مختلف مد نظر مطابق با عمق‌دهی جدول ۱ و شکل ۲ با گام عرضی ۵ میلی‌متر در هر حلقه توسط برنامه Power Mill تهیه و به ماشین CNC منتقل گردید.



شکل (۲): (الف) ابزار پس از هر بار کامل نمودن حلقه به میزان بار عمودی پایین رفته، (ب) ابزار همزمان با کامل نمودن حلقه به میزان یک چهارم گام عمودی در هر ضلع پایین می‌رود، (پ) ابزار همزمان با کامل نمودن حلقه ابزار عمق پیدا می‌کند با این تفاوت که عمق حلقه‌های ابتدایی بیشتر از عمق حلقه‌های انتهایی است.

گیرید در طول هر ضلع ۰/۵ میلی‌متر ابزار به تدریج عمق پیدا می‌کند و به صورت حلقوی ابزار عمق ۱۵ میلی‌متر را در محصول ایجاد می‌کند (مطابق شکل ۲-(ب)). در محصول ۴ به جای عمق‌دهی در هر ضلع ۰/۵ در حلقه‌های ابتدایی در هر ضلع عمق بیشتری می‌یابد و عمق حلقه‌ها متفاوت می‌باشد. (مطابق شکل ۲-(پ)). شکل ۳ نمونه‌ای از قطعات ساخته شده را نشان می‌دهد.

شده‌اند. شکل ۲ استراتژی مختلف ابزار استفاده شده را نشان می‌دهد.

۴- آزمایش تجربی

فرم نهایی محصول هرم ناقصی با ضلع بزرگ ۱۲۰×۱۲۰ میلی‌متر و عمق ۱۰ و ۱۵ میلی‌متر بازاویه دیواره ۱۸ و ۲۶ درجه می‌باشد. آزمایشات با استفاده از یک ماشین فرز عمودی CNC سه محوره انجام شدند. ورق دولایه که محصول فرایند نورد می‌باشند از جنس آلومینیوم ۱۱۰۰ با ضخامت ۱ میلی‌متر و ورق مس ۰/۹۹٪ به ضخامت ۰/۶ میلی‌متر در کوره الکتریکی در دمای ۳۹۰ درجه سانتیگراد به مدت ۱ ساعت قرار گرفته و سپس در محیط کوره خنک شده تا عملیات آنیلینگ بر روی

جدول (۱): عمق‌دهی بر حسب میلی‌متر در هر حلقه برای مسیر ابزار.

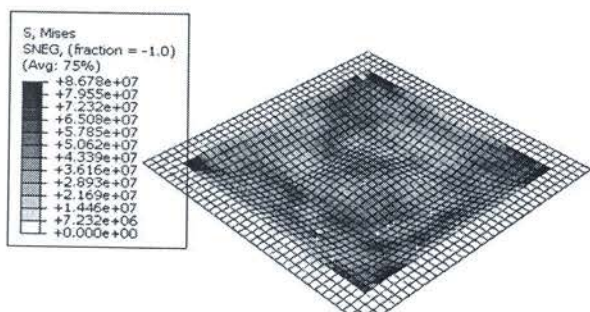
| نوع محصول | حلقه ۷ | حلقه ۶ | حلقه ۵ | حلقه ۴ | حلقه ۳ | حلقه ۲ | حلقه ۱ |
|-----------|--------|--------|--------|--------|--------|--------|--------|
| محصول ۱ | ۱/۵ | ۱/۵ | ۱/۵ | ۱/۵ | ۱/۵ | ۱/۵ | ۱/۵ |
| محصول ۲ | ۲ | ۲ | ۲ | ۲ | ۲ | ۲ | ۲ |
| محصول ۳ | ۲ | ۲ | ۲ | ۲ | ۲ | ۲ | ۲ |
| محصول ۴ | ۱ | ۱ | ۱/۵ | ۲ | ۲/۵ | ۳ | ۴ |

مسیر ابزار در محصول ۱ با عمق ۱۰ میلی‌متر و در محصول ۲ با عمق ۱۵ میلی‌متر به صورت عمق‌دهی پله‌ای مطابق با شکل ۲-(الف) می‌باشد. در محصول ۳ میزان عمق ۱۵ میلی‌متر بوده با این تفاوت که بجای اینکه عمق‌دهی به صورت یکدفعه انجام

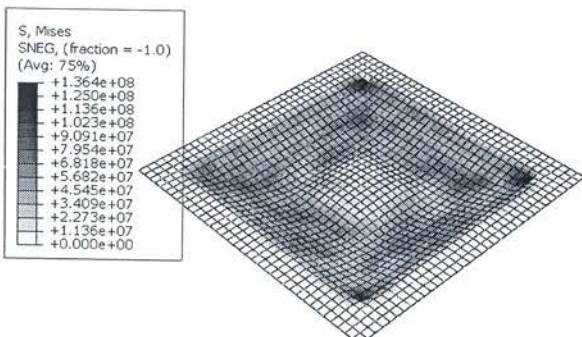
جدول (۲): خواص IDArching ورق

| استحکام نهایی (MPa) | تنش تسلیم (MPa) | ضریب پواسون | مدول الاستیستیک (MPa) | چگالی (Kg/m³) | نوع مواد |
|---------------------------|-----------------------|----------------|-----------------------------|------------------|-----------|
| ۹۰ | ۳۹ | ۰.۲۴ | ۶۸۲۵۰ | ۲۷۲۰/۶ | آلومینیوم |
| ۱۷۲ | ۵۰ | ۰.۳۳ | ۱۱۷۲۰۰ | ۸۹۴۰/۶ | مس |

مشاهده تنشها براساس معیار فون میزز در قطعه شبیه سازی شده در محصول ۱ (عمق محصول ۱۰ میلی متر و مسیر ابزار با عمق دهی پله ای) به صورت شکل ۵ می باشد.



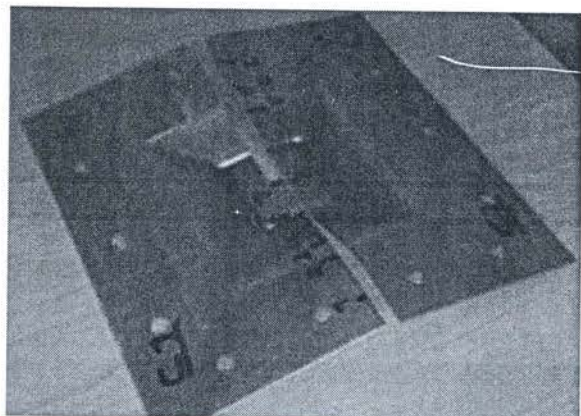
(الف)



(ب)

شکل (۵): تنش بر اساس معیار فون میزز در محصول با عمق ۱۰ میلی متر و مسیر ابزار با عمق دهی پله ای (محصول ۱) (الف) ورق آلمینیوم، (ب) ورق مس.

حداکثر تنش محاسبه شده توسط نرم افزار در محصول ۱ برای آلمینیوم $Pa = 8.678 \times 10^7$ و $Pa = 1.364 \times 10^8$ برای مس می باشد. حداکثر تنش مذکور در آلمینیوم کمتر از مس می باشد. تنش براساس معیار فون میزز در محصول ۲ (محصول با عمق ۱۵ میلی متر و مسیر ابزار با عمق دهی پله ای) در شکل ۶ نشان داده شده است که حداکثر آن $Pa = 9.04 \times 10^7$ برای آلمینیوم و $Pa = 1.88 \times 10^8$ برای مس است و ملاحظه می شود

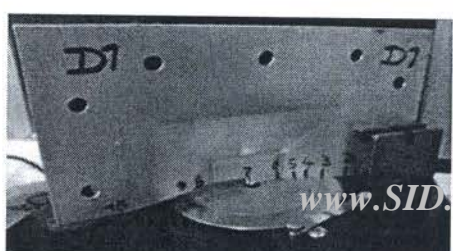


شکل (۳): نمونه ای از قطعات هرمی ساخته شده.

قطعات تولید شده برای مقایسه از مقطع توسط وايرکات برش زده شده و اندازه ضخامت هریک از ورق ها پس از پولیش کاری سطح مقطع توسط میکروسکوپ اندازه گیری شد (شکل ۴).

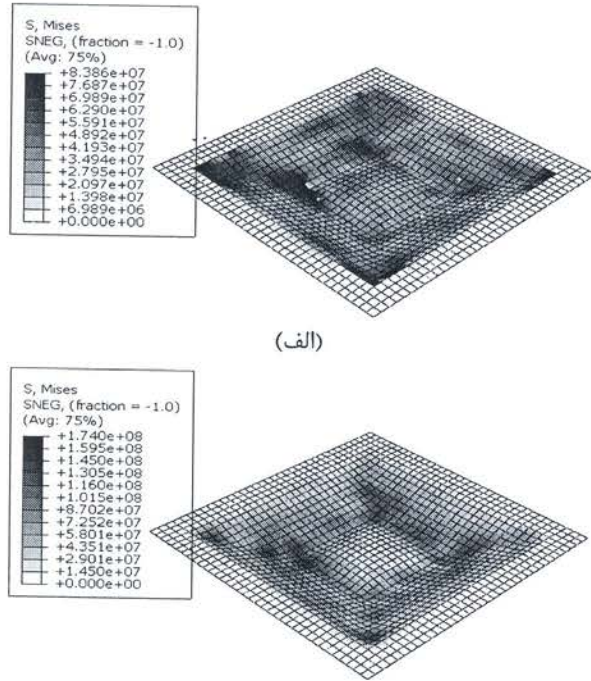
۵- شبیه سازی

فرایند مدل کردن شکل دهی افزایشی ورق، قطعه ای به شکل هرم ناقص توسط نرم افزار ABAQUS به صورت سه بعدی انجام پذیرفته شد. به جهت غیرخطی بودن و تغییر شکل های بزرگ مسئله از محیط Explicit نرم افزار که کدی دینامیک می باشد استفاده گردیده شد. در این مدل ورق دولایه آلمینیوم - مس عضو انعطاف پذیر و ابزار سرکروی صلب انتخاب شده و از رژیم تماسی صلب - انعطاف پذیر استفاده گردیده شد. المان انتخابی برای ابزار از نوع R3D4 و برای ورق S4R می باشد. برای شبیه سازی حرکت ابزار از شرایط مرزی استفاده شده و در مدول Step اقدام به تعریف حرکت ابزار با مسیرهای مختلف شد. از اثر بوشینگر و ناهمسانگردی ورق صرف نظر شده است. برای کسب اطلاع از بعضی از خواص مکانیکی ورق، بر روی نمونه ای از آن تست کشش انجام شد که نتایج آن مطابق جدول ۲ بوده و در نرم افزار هر دو قسمت الاستیک و پلاستیک مطابق تست اعمال گردید. میزان اصطکاک ۰/۰۴ میان سطوح تماسی ابزار و ورق تعریف گردیده است.



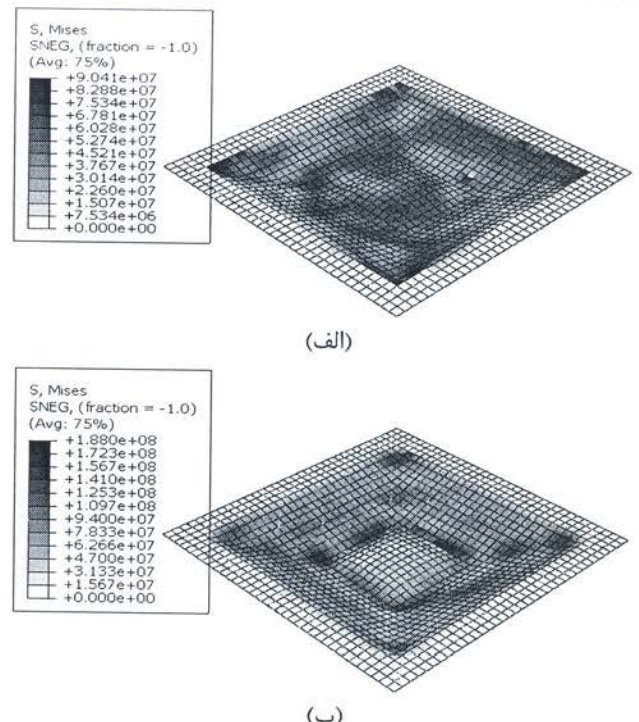
شکل (۴): میکروسکوپ اندازه گیری ضخامت.

آلومینیوم برای هر ۴ محصول می‌باشد. $\sigma_{H\max}$ نشانگر مقدار ماکزیمم تنش افقی یا تنش همجهت با سطح ورق و $\sigma_{V\max}$ نشانگر مقدار ماکزیمم تنش عمودی یا تنش عمود بر سطح ورق می‌باشد. مقادیر ماکزیمم تنش در هر دو ورق در هنگام حرکت ابزار در بار دهی (عمودی) بیشتر از مقادیر ماکزیمم تنش در حرکت ابزار در طول مسیر حلقه می‌باشد. با مقایسه دو محصول ۳ و ۲ مشخص است که با تغییر مسیر ابزار از عمق‌دهی پلهای به عمق‌دهی حلقوی از مقادیر ماکزیمم تنش کاسته شده و انتظار می‌رود تا درصد کمتری از کاهش ضخامت در ورق داشته باشیم.



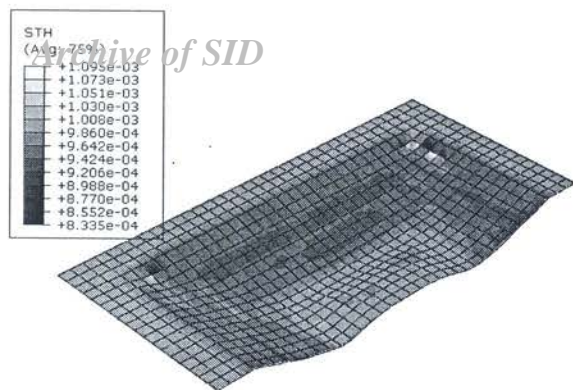
شکل (۷): تنش بر اساس معیار فون میزز در محصول با عمق ۱۵ میلی‌متر و مسیر ابزار با عمق‌دهی حلقوی (محصول ۳): (الف) ورق آلومینیوم، (ب) ورق مس.

که تنش‌ها در محصول ۲ یا با عمق بالاتر از محصول ۱ بیشتر می‌باشد و عمق محصول رابطه مستقیم با مقادیر تنش‌ها دارد. به‌طوری که رشد ۴ درصدی در حداقل تنش فون میزز برای ورق آلومینیوم و رشد ۲۷ درصدی برای ورق مس مشاهده می‌گردد.

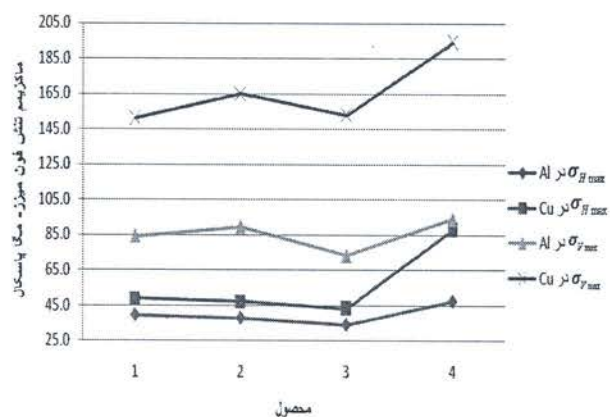


شکل (۶): تنش بر اساس معیار فون میزز در محصول با عمق ۱۵ میلی‌متر و مسیر ابزار با عمق‌دهی پلهای (محصول ۲): (الف) ورق آلومینیوم، (ب) ورق مس.

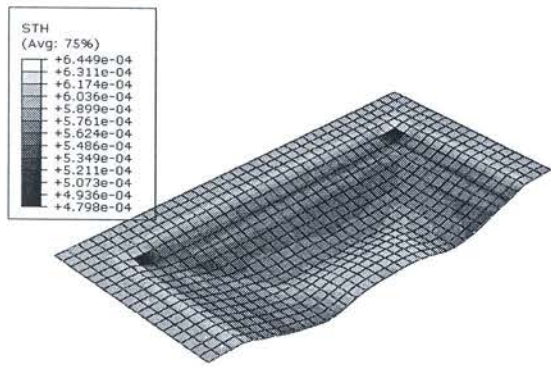
شکل ۷ نمایشگر تنش‌ها بر اساس معیار فون میزز در محصول ۳ (عمق ۱۵ میلی‌متر و مسیر ابزار با عمق‌دهی حلقوی) است. حداقل تنش برای آلومینیوم $8/۳۸ \times 10^7 \text{ Pa}$ و $1/۷۴ \times 10^8 \text{ Pa}$ برای مس است. همان‌طور که ملاحظه می‌شود حداقل تنش در محصول ۳ از محصول ۲ کمتر می‌باشد. به‌طوری که کاهش ۷ درصدی در ورق آلومینیوم و کاهش $6/4$ درصدی در ورق مس مشاهده می‌گردد پس با تغییر مسیر ابزار می‌توان از مقادیر تنش‌ها کاست. در تمامی مراحل شکل‌دهی بالاترین تنش‌ها هنگام تماس ابزار سرکروی با ورق در حین شکل‌دهی می‌باشد. با حرکت بیشتر ابزار کروی به سمت پایین مقادیر تنش‌ها افزایش خواهد یافت. شکل ۸ نمایشگر ماکزیمم تنش افقی و عمودی بر اساس معیار فون میزز در ورق مس و



(الف)



شکل (۸): ماكزيمم تنش فون ميزز درجهات مختلف در ورق مس و آلومنينيوم در هر ۴ محصول.



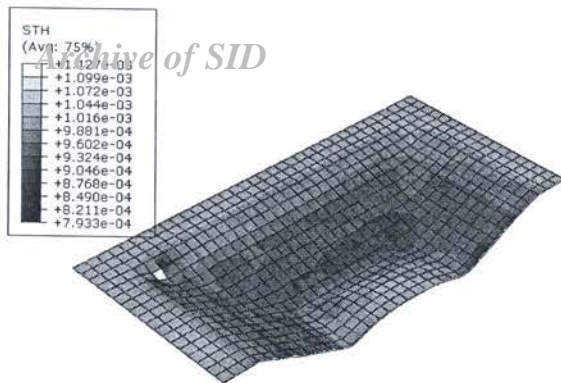
(ب)

شکل (۹): تغييرات ضخامت در محصول با عمق ۱۰ ميلى متر و مسیر ابزار با عمق دهی پله‌اي (محصول ۱): (الف) ورق آلومنينيوم، (ب) ورق مس.

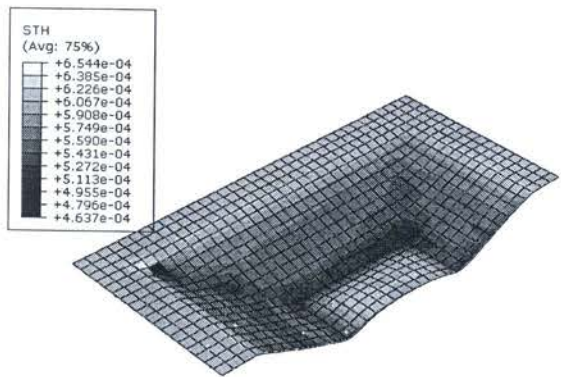
شکل ۱۱ تغييرات ضخامت در طول يال در محصول با عمق ۱۵ ميلى متر و مسیر ابزار با عمق دهی حلقوی (محصول ۳) را نشان می دهد که درصد تغيير ضخامت برای آلومنينيوم ۹/۶ درصد کاهش و برای ورق مسی ۱۲ درصد کاهش نشان داده می شود. اما مشاهده می شود که با تغيير مسیر ابزار از عمق دهی پله‌اي به حلقوی کاهش ۴/۸ درصدی در تغييرات ضخامت در ورق آلومنينيوم و کاهش ۶ درصدی در تغييرات در ورق مسی رخ داده است.

شکل ۹ تغييرات ضخامت در محصول ۱ (عمق محصول ۱۰ ميلى متر و مسیر ابزار با عمق دهی پله‌اي) را نشان می دهد. مشاهده می شود که درصد تغييرات ضخامت ورق در طول يال برای آلومنينيوم ۸ درصد کاهش و برای ورق مسی ۸/۷ درصد کاهش می باشد. به جهت اينکه حداکثر تنش فون ميزز در مس بيشتر از حداکثر تنش در آلومنينيوم می باشد مس بيشتر دچار تغيير شكل گشته است. علت وقوع تغييرات در ضخامت ورق به خاطر تنش‌های موضعی می باشد که در هنگام شکل دهی از طرف ابزار بر روی ورق ايجاد می گردد به همين جهت در انتهای يال بيشترین افزایش درصد تغييرات مشاهده می گردد. از روش‌های کاهش پدیده تغيير ضخامت می توان به افزایش تعدد حلقه‌های مسیر یا کاهش عمق‌ها در هر گام، انتخاب مسیر ابزار بهينه، کاهش سرعت پيشروي، انتخاب قطر ابزار بهينه اشاره نمود.

شکل ۱۰ تغييرات ضخامت در طول يال در محصول با عمق ۱۵ ميلى متر و مسیر ابزار با عمق دهی پله‌اي (محصول ۲) را نشان می دهد که در ورق آلومنينيوم در حدود ۱۴/۴ درصد کاهش و در ورق مس ۱۸ درصد کاهش می باشد. در اين محصول نسبت به محصول ۱ رشد حدود ۶/۴ درصدی برای آلومنينيوم و ۸ درصدی برای مس مشاهده می گردد. پس با افزایش عمق محصول کاهش ضخامت بيشتر رخ می دهد که به جهت افزایش تنش‌ها می باشد.

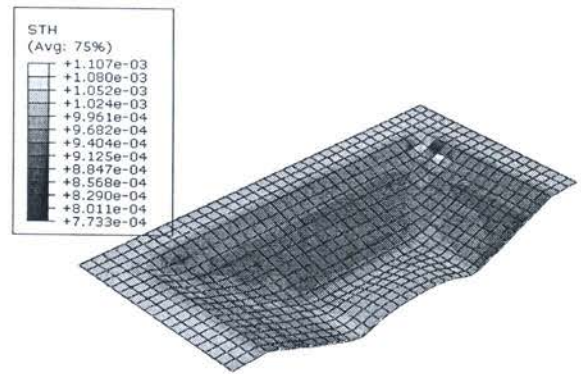


(الف)

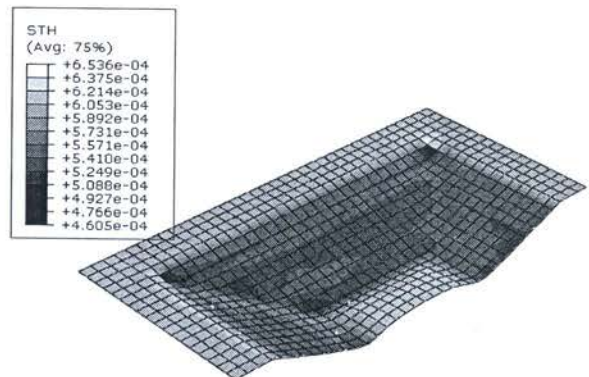


(ب)

شکل (۱۱): تغییرات ضخامت در محصول با عمق ۱۵ میلی‌متر و مسیر ابزار با عمق‌دهی حلقوی (محصول ۳): (الف) ورق آلمینیوم، (ب) ورق مس.

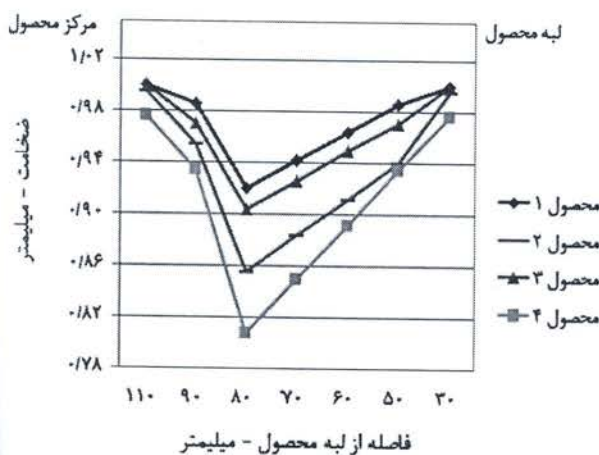


(الف)



(ب)

شکل (۱۰): تغییرات ضخامت در محصول با عمق ۱۵ میلی‌متر و مسیر ابزار با عمق‌دهی پله‌ای (محصول ۲): (الف) ورق آلمینیوم، (ب) ورق مس.

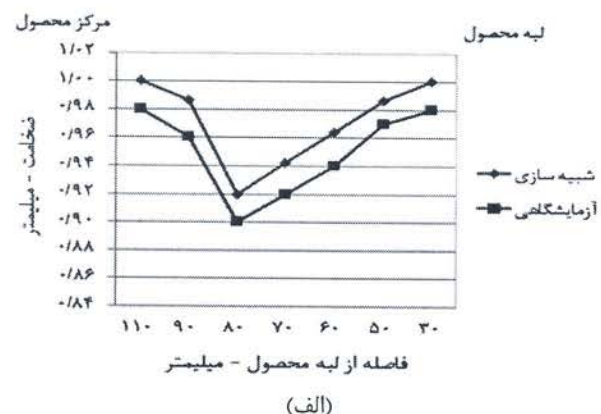


شکل (۱۲): تغییرات ضخامت در هر ۴ محصول به روش شبیه‌سازی در ورق آلمینیوم.

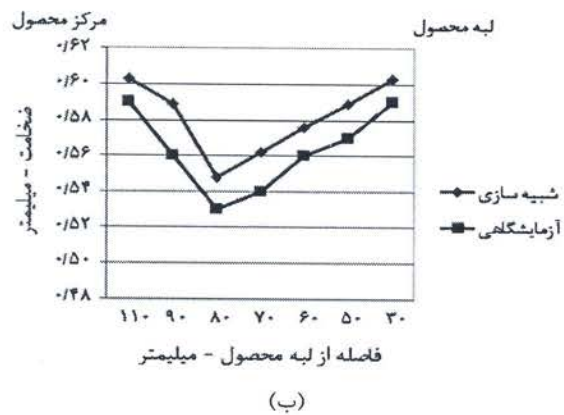
در یک مقایسه کلی در شکل ۱۲ تغییرات ضخامت برای آلمینیوم و شکل ۱۳ تغییرات ضخامت برای مس در هر ۴ محصول از شبیه‌سازی نشان داده شده است. ملاحظه می‌شود همان‌طور که انتظار کاهش درصد تغییرات ضخامت باعثیت به وضعیت تنش‌ها در محصول ۳ با عمق‌دهی حلقوی نسبت به عمق‌دهی پله‌ای یا محصول ۲ می‌رود، ضخامت ورق در این حالت عمق‌دهی کمتر کاهش یافته است. همچنین با افزایش عمق محصول کاهش بیشتری در ضخامت ورق به وقوع می‌پیوندد که در مقایسه بین محصول ۱ و ۲ مشخص است. محصول SID ابزار نامناسب بیشترین کاهش ضخامت را دارد. این مسئله نشانگر آن است که انتخاب مسیر ابزار مسئله بسیار مهمی می‌باشد.

نازک شدگی ورق در مسیر ابزار حلقوی در اصل قابلیت

شکل پذیری ورق نیز افزایش یافته است.

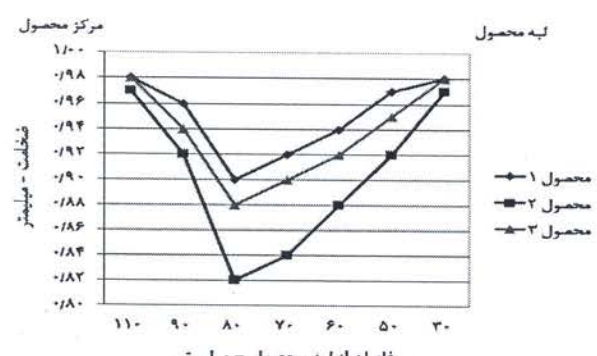


(الف)

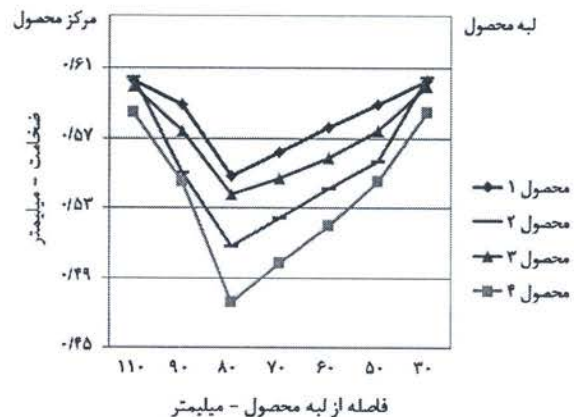


(ب)

شکل (۱۴): مقایسه ضخامت ورق به روش شبیه‌سازی و روش تجربی در محصول ۱ (عمق ۱۰ میلی‌متر): (الف) ورق آلمینیوم، (ب) ورق مس.



شکل (۱۵): نتایج تجربی تغییرات ضخامت در ۳ محصول در ورق آلمینیوم.



شکل (۱۳): تغییرات ضخامت در هر ۴ محصول به روش شبیه‌سازی در ورق مس.

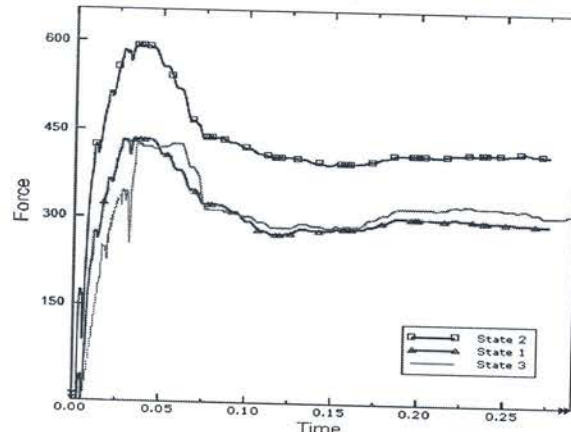
۶- بررسی نتایج شبیه‌سازی و تجربی

به منظور مقایسه شبیه‌سازی و صحت نتایج آن، همان‌طور که اشاره گردید کار عملی در این زمینه صورت گرفته است. شکل ۱۴ مقایسه ضخامت اندازه‌گیری شده طول یال محصول ۱ در حالت آزمایشگاهی و اندازه‌های حاصل از شبیه‌سازی برای ورق مس و آلومینیوم نشان می‌دهد.

مشاهده می‌شود میزان اختلاف نتایج آزمایشگاهی و شبیه‌سازی در محصول ۱ برای ورق آلومینیوم از ۱/۶۵ تا ۲/۷ درصد و برای ورق مس از ۲/۲ تا ۵/۱۷ درصد می‌باشد که قسمتی از این اختلاف ناشی از عدم دقت وسائل اندازه‌گیری و احتمال بروز خطا در اندازه‌گیری و محاسبات می‌تواند باشد. شکل ۱۵ نتایج آزمایشگاهی ضخامت ورق برای آلومینیوم و شکل ۱۶ این تغییرات را برای ورق مس در سه محصول تولید شده با عمق ۱۰ میلی‌متر (محصول ۱) و عمق ۱۵ میلی‌متر (محصول ۲) و عمق ۱۵ میلی‌متر با مسیر ابزار عمق‌دهی (محصول ۳) نشان می‌دهد. شکل ۱۷ نمونه مقاطع حلقوی (محصول ۳) نشان می‌دهد. اندازه‌گیری شده در سه محصول را نشان می‌دهد.

در مقایسه با تحقیقات گذشته دیگر محققان بر روی ورق‌های تک لایه می‌توان به این نکات اشاره نمود، در تحقیقی که یاماشیتا و همکارانش [۱۴] در زمینه مسیرهای مختلف ابزار پرداختند با تغییر مسیر ابزار از حالت عمق‌دهی پله‌ای به عمق‌دهی حلقوی توزیع کرنش یکنواخت‌تر و کمتری برای محصول *ir* حاصل. گزینه‌ای و این نشان می‌دهد که قابلیت شکل پذیری ورق تک لایه از جنس فولاد نیز افزایش یافته و مشابه نتایج حاصله در این مطالعه می‌باشد که با کاهش درصد

نیروی مصرفی محصولات با مسیر ابزار مختلف را نشان می‌دهد. مقدار نیروی لازم در محصول با عمق z میانیک هواپما از مقدار نیروی لازم محصول با عمق 15 میلی‌متر می‌باشد. از طرفی با اصلاح مسیر ابزار در همان محصول با عمق 15 میلی‌متر مقدار نیروی لازم بسیار کمتر می‌گردد.

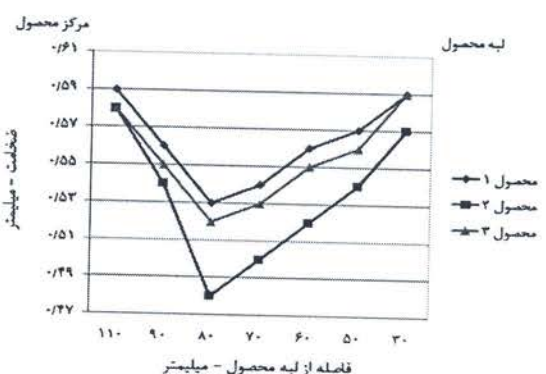


شکل (۱۸): منحنی نیرو برای محصولات شکل داده شده در سه حالت ساخته شده.

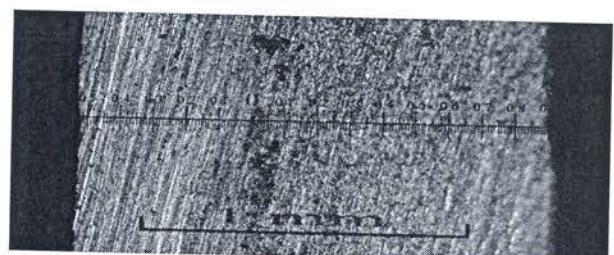
در آزمایشی که راج و همکارانش [۱۵] بر روی ورق تک از جنس Al5086 نمودند نیز نتایج مشابهی دریافت شده است و مشخص گردید که با انتخاب مسیر ابزار حلقوی مقدار نیروهای مصرفی که توسط دینامومتر ثبت گردیده است در قیاس با مسیر ابزار پله‌ای کاهش یافته است.

۸- نتیجه‌گیری

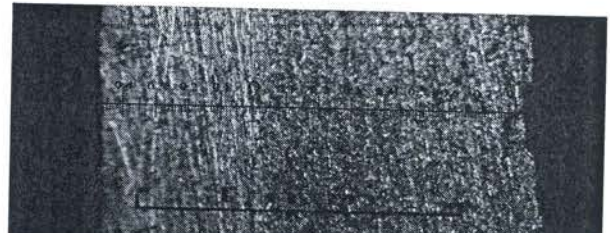
از مقایسه نتایج می‌توان دریافت خطای بین نتایج شبیه‌سازی و کار تجربی حدود ۱ تا ۷ درصد می‌باشد که قسمتی از این اختلاف ناشی از عدم دقت وسایل اندازه‌گیری و احتمال بروز خطأ در اندازه‌گیری و محاسبات می‌تواند باشد. بیشترین میزان تغییر شکل در ورقی رخ می‌دهد که معمولاً بیشترین تنش‌ها را متحمل می‌گردد و میزان حد شکل‌پذیری یا نازک شدگی ورق‌ها در نمونه‌های تجربی از روند یکسانی نسبت به نتایج تجربی پیروی می‌کند. نزدیکی قابل قبول نتایج حاکی از صحت فرایند شبیه‌سازی و معیار به کار رفته مناسب جهت تعیین رفتار مکانیکی ورق می‌باشد. در مسیرهای متنوعی که مورد آزمایش قرار گرفت، هر جا که تنش‌های موجود در مسیر ابزار کاسته



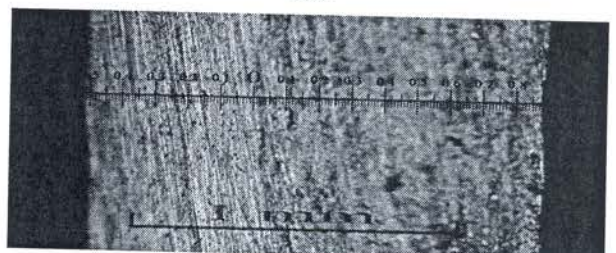
شکل (۱۶): نتایج تجربی تغییرات ضخامت در 3 محصول در ورق مس.



(الف)



(ب)



(ج)

شکل (۱۷): مقاطع ضخامت اندازه‌گیری شده: (الف) محصول با عمق 10 میلی‌متر، (ب) محصول با عمق 15 میلی‌متر، (ج) محصول با عمق 15 میلی‌متر و مسیر ابزار با عمق‌دهی حلقوی.

۷- بررسی نیروی شکل‌دهی

با بدست آوردن حداقل نیروی لازم برای شکل‌دهی می‌توان فرایند شکل‌دهی را با موقیت و بدون احتمال شکست ابزار به اتمام رساند. آنچه مسلم است نیروی عمودی از دو نیروی افقی برای قطعه هرمی شکل مذکور بیشتر است. شکل ۱۸ نتایج

- on Manufacturing Engineering, Birjand, Birjand University, 2009 (In Persian).
8. Karimi Taheri, A. and Naroei, K. "The Formability Studying of the Multi-Layers Sheet by Non-Liner Finite Element Method", 10th Congress of the Iranian Metallurgical Society, Mashhad, Ferdousi University, 2006 (In Persian).
 9. Rajabi, A. and Kadkhodiyani, M. "Studying the Shrinkage of the Metal-Composite Sheets in the Deep Drawing Process", 10th Conference of Iranian Aerospace Society, Tehran, Tarbiat Modares University, 2009 (In Persian).
 10. Molaei Dariyani, B., Sedighi, M. and Morovati Mameghani, M. "The Folding Simulation of the Two-Layer Sheet in Deep Drawing Process", 6th Annual Student Conference on Mechanical Engineering, Tehran, Amir Kabir University, 2009 (In Persian).
 11. Moslemi Naeeni, H., Nemati Faghri, A., Salmani Tehrani, M. and Azizi Tafti, R., "The Effect of Layers Thickness on the Spring Back in Cold Roll Forming Process of the Two Layer Sheets Metal", 20th Annual Conference .. on Mechanical Engineering, Shiraz, Shiraz University, 2012. (In Persian).
 12. Attanasio, A., Ceretti, E. and Giardini, C. "Optimization of Tool Path in Two Points Incremental Forming", Journal of Materials Processing Technology, Vol. 177, No. 1-3, pp.409-412, 2006.
 13. Cerro, I., Maidagan, E., Arana, J., Rivero, A. and Rodriguez, P.P. "Theoretical and Experimental Analysis of the Die Less Incremental Sheet Forming Process", Journal of Materials Processing Technology, Vol. 177, No. 1-3, pp.404-408, 2006.
 14. Yamashita, M., Gotoh, M. and Atsumi, S. "Numerical Simulation of Incremental Forming", Journal of Materials Processing Technology, Vol.199, No. 1-3, pp.163-172, 2008.
 15. Rauch, M., Hascoet, J., Hamann, J. and Plenel, Y. "Tool Path Programming Optimization for Incremental Sheet Forming Applications", Computer-Aided Design, Vol. 41, No. 12, pp.877-885, 2009.
 16. Kim, Y.H. and Park, J.J. "Effect of Process Parameters on Formability in Incremental Forming of Sheet Metal", Journal of Materials Processing Technology, Vol. 130-131, pp. 42-46, 2002.
 17. Cui, Z. and Gao, L. "Studies on Hole-Flanging Process Using Multistage Incremental Forming", CIRP Journal of Manufacturing Science and Technology, Vol. 2, No. 2, pp.124-128, 2010.
 18. Bambach, M. "Process Strategies and Modeling Approaches for Asymmetric Incremental Sheet Forming", PhD Thesis, Institute of Metal Forming, RWTH Aachen University, Aachen, Germany, 2008.
 19. Allwood, J.M., Music, O., Raithathna, A. and Duncan, S.R. "Closed-Loop Feedback Control of Product Properties in Flexible Metal Forming

شده میزان کاهش ضخامت ورق آن مسیر کاهش یافته و یا به عبارتی میزان شکل پذیری در ورق افزایش می‌یابد. نیروی شکل دهنده به طبع مسیر ابزار متغیر بوده و می‌توان با انتخاب بهینه مسیر در میزان آن کاهش داد. همچنین با افزایش عمق محصول افزایش تنش‌ها و در بی آن کاهش شکل پذیری در ورق‌ها را خواهیم داشت. همین‌طور نشان داده شد با عدم انتخاب صحیح بار دهنده در مسیر ابزار افزایشی می‌توان نتایج حتی بدتر از عمق‌دهی پله‌ای دریافت نمود. تحلیل به روش اجزای محدود در این فرایند، کمک شایانی به دستیابی به تأثیر پارامترهای دیگر در این فرایند که نیاز به وقت و هزینه زیاد دارند می‌نماید.

۹-مراجع

1. Smith, L.M. and Celant, M. "Practical Handbook of Cladding Technology", CASTI Publishing, Alberta, pp. 3-45, 1998.
2. Lang, L., Danckert, J. and Nielsen, K.B. "Multi-Layer Sheet Hydro Forming: Experimental and Numerical Investigation into the very Thin Layer in the Middle", Journal of Materials Processing Technology, Vol. 170, No. 3, pp.524-535, 2005.
3. Islam, M.D., Olabi, A.G. and Hashmi, M.S.J. "Feasibility of Multi-Layered Tubular Components Forming by Hydro Forming and Finite Element Simulation", Journal of Materials Processing Technology, Vol. 174, No. 1-3, pp.394-398, 2006.
4. Bagher Zadeh, S. and Molaei Dariyani, B. "Determining the Critical Pressure in Hydro Mechanical Deep Drawing Process of Two-Layer Sheets Metal", 18th Annual Conference on Mechanical Engineering, Tehran, Sharif University, 2010 (In Persian).
5. Hung-Hsiou, H. and Gow-Yi, T. "Two Analytical Models of Double-Layer Clad Sheet Compression Forming Based on the Upper Bound and the Slab Methods", Journal of Materials Processing Technology, Vol. 140, No. 1-3, pp.604-609, 2003.
6. Gow-Yi, T. and Ming-Nan, H. "Analytical Modified Model of the Cold Bond Rolling of Unbounded Double-Layers Sheet Considering Hybrid Friction", Journal of Materials Processing Technology, Vol. 140, No. 1-3, pp.622-627, 2003.
7. Shakeri, M. and Molaei Dariyani, B. "Theoretical and Experimental Studying the Formability of the Two-Layer Sheets metal Al1100-St12 by Equivalent Layer Model", 9th Iranian Conference

- Processes with Mobile Tools”, CIRP Annals-Manufacturing Technology, Vol.58, No.1, pp.287–290, 2009.
20. Hemmati, B. and Farahani F. “Study of Incremental Sheet Forming and Simulation with FEM”, Second International Conference on Manufacturing Engineering, Tehran, Iran University of Science & Technology, 2007, (in Persian).
21. Jeswiet, J., Micari, F., Hirt, G., Bramley, A., Duflou, J. and Allwood, J. “Asymmetric Single Point Incremental Forming of Sheet Metal”, CIRP Annals-Manufacturing Technology, Vol.54, No.2, pp.88–114, 2005.